

画廊问题求解

游凯超 2020312661 软博 20

王兆伟 2020312653 软博 20

江俊广 2020213958 软硕 201

摘 要

基本问题：对二维画廊问题（给定一个简单多边形，选取若干个顶点安放摄像头，使得多边形内部的任何一个点都能被至少一个摄像头看到），利用 Fisk 的方法给出 $\lfloor \frac{n}{3} \rfloor$ 个哨兵的解决方案。

附加功能：按照计算几何课堂演示 demo 的质量要求，设计易用的图形界面，方便用户理解算法的实现过程。

目录

1 介绍	1
2 简单多边形分解成单调多边形	1
2.1 数据结构	1
2.2 算法流程	3
3 单调多边形三角剖分	5
3.1 数据结构	6
3.2 算法流程	6
4 Fisk 染色	8
4.1 数据结构	8
4.2 算法流程	8
5 高效的三角剖分正确性检查	10
6 鲁棒性	14
6.1 正确测例	14
6.2 错误测例	16
7 性能评估	16
8 总结	17
9 分工	17
参考文献	18

1 介绍

1975 年, Chvatal 发表的论文 [1] 表明画廊问题可以通过 $\lfloor \frac{n}{3} \rfloor$ 个哨兵来完整监视, 且有时 $\lfloor \frac{n}{3} \rfloor$ 个哨兵是必要的。但是其证明非常冗长, 且难以实现。三年后, Fisk 发表的论文 [2] 提供了一种极大简化了的证明, 通过简单多边形的三角剖分及三染色优美地解决了这个问题。Fisk 的证明虽然优美, 但是依赖于简单多边形三角剖分的存在性及简单多边形无洞的事实。如何将一个简单多边形进行三角剖分? Chazelle [3] 在 1990 年证明, 简单多边形可以在线性时间内得到三角剖分, 但是这个算法太过复杂, 几乎没有人去实现。更常见的做法 [4] 是采用两步: (1) 将简单多边形分解为若干个单调多边形; (2) 对每个单调多边形进行三角剖分。本次 project, 我们将采用 [4] 中的两步方法, 也即课上教的方法, 对简单多边形进行三角剖分, 具体包括

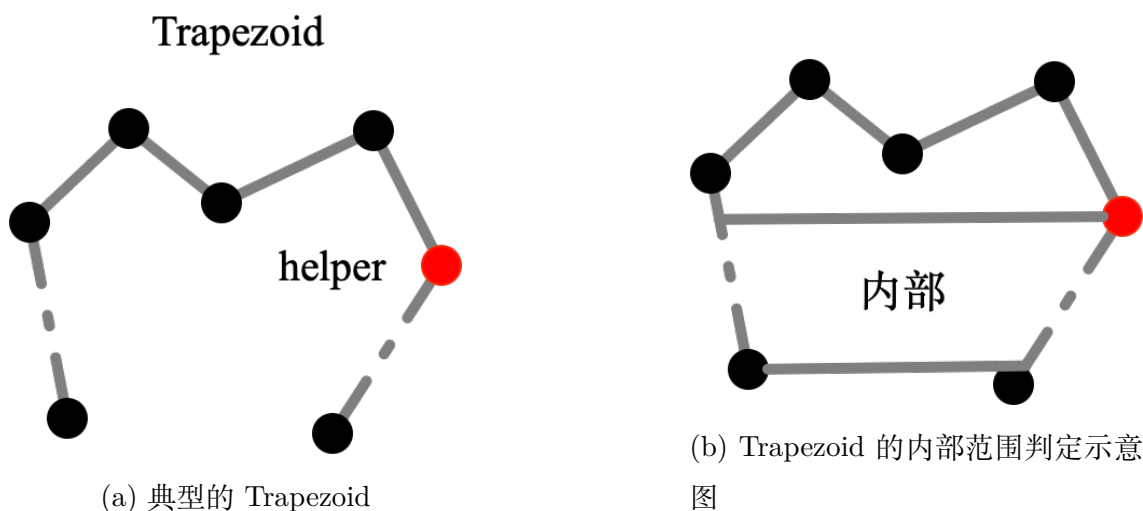
- 简单多边形分解成单调多边形;
- 单调多边形的三角剖分;
- 利用 Fisk 方法进行染色, 生成 $\lfloor \frac{n}{3} \rfloor$ 个哨兵的监视方案;
- 三角剖分测例生成与正确性验证;
- 简单直观易用的图形界面 (手动创建多边形、算法流程可视化)。

2 简单多边形分解成单调多边形

2.1 数据结构

四边形 (Trapezoid) 数据结构 Trapezoid (见图 1a) 由多个非封闭的单调多边形及两侧的边构成的。它包含一个 helper 顶点, 以及顶点构成的边链。边链的两端有两个虚顶点 (即还不属于 Trapezoid), 根据这两个虚顶点及其附近的顶点, 可以确定 Trapezoid 的两边延伸的方向, 用于后续判断新的顶点是否在 Trapezoid 里面。图 1b 是 Trapezoid 的内部范围判定示意图 (就是两侧虚边内所夹的平行线的范围)。

事件队列 扫描线算法需要扫描线状态与事件队列。在本问题中, 事件队列就是按照 y 方向排好序的顶点。



基于平衡二叉搜索树的扫描线 (BBSTBasedSweepLine) 存储与当前扫描线相交的 Trapezoid 们。一般而言，扫描线状态如下，上面挂着一些 Trapezoid。随着扫描线的移动，需要动态地增加或者删除某个 Trapezoid。对于 N 边形而言，扫描线上挂着的 Trapezoid 个数为 $\mathcal{O}(N)$ 。

为了实现高效的查找以及增删，需要使用平衡二叉搜索树的结构维护 Trapezoid。Javascript 官方的库中并没有对平衡二叉搜索树的支持，因此我们参考了https://github.com/vadimg/js_bintrees 实现的二叉搜索树 (BinarySearchTree) 与红黑树 (RBTree)。对于二叉搜索树而言，最重要的是定义清楚不同元素之间的序。观察到 Trapezoid T 与扫描线 SL 的右交点的 x 坐标 $\text{INT}_{\text{right}}(T, SL)$ (图2) 满足反对称性和传递性，因此我们将其作为每个 Trapezoid 的 key。当扫描线向下移动时，每个 Trapezoid 的 key 是在动态变化的，但是 Trapezoid 之间的序并不会发生改变。具体实现时，不会保存每个结点的 key 值，而是在给定扫描线位置进行比较时才会计算 key 值。

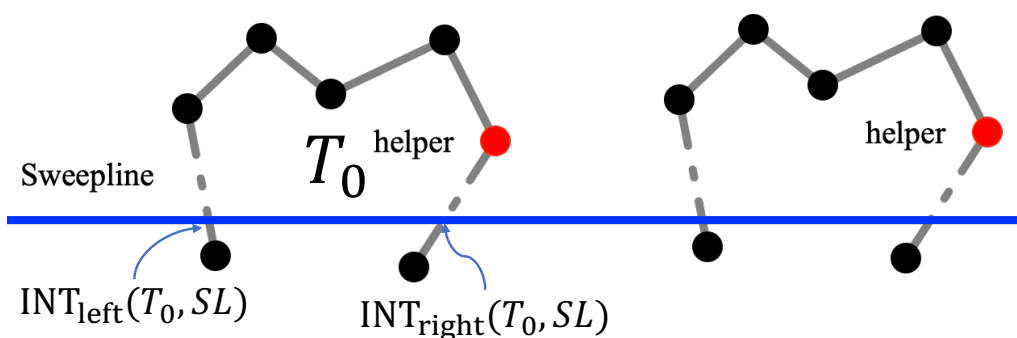


图 2: 不同 Trapezoid 的大小比较

在插入新的 Trapezoid 时, 只涉及到不同 Trapezoid 之间的比较, 即比较 $\text{INT}_{\text{right}}(T, SL)$ 大小。插入后树可能不再满足红黑树的特性, 因此需要通过旋转和重新着色等方法来修正该树, 使之重新成为一颗红黑树。该过程的复杂度是 $\mathcal{O}(\log(N))$ 。删除旧的 Trapezoid 的过程类似, 复杂度也是 $\mathcal{O}(\log(N))$ 。

在查找时, 我们需要用一个点 P 去和 Trapezoid 进行比较, 由于这个点一定在扫描线上, 因此我们直接将该点 P 的 x 坐标 x_P 定义为 key 值。我们在树中二分查找找到 key 值大于等于 x_P 的首个结点 T_0 , 然后从 T_0 开始顺序查找符合条件的 Trapezoid。由于序小于 T_0 的结点对应的 Trapezoid 与扫描线的右交点 x 坐标均小于 x_P , 因此不会包含点 P , 故而不会出现遗漏的问题。查找的终止条件是当前的 Trapezoid T 与扫描线 SL 的左交点的 x 坐标 $\text{INT}_{\text{left}}(T, SL)$ 大于 x_P 。由于包含点 P 的 Trapezoid 的个数不会超过 2 个, 同时红黑树的树高不会超过 $\mathcal{O}(\log(N))$, 因此在 BBSTBasedSweepLine 中查找某个点的复杂度是 $\mathcal{O}(\log(N))$ 。

扫描线移动次数为 $\mathcal{O}(N)$, 因此扫描过程总的时间复杂度为 $\mathcal{O}(N \log(N))$ 。

2.2 算法流程

从上到下第一遍扫描

1. 将所有点按照 y 坐标排序, 从上到下逐个处理
2. 根据当前点与扫描线上的四边形关系, 决定如何处理。

将所有点按照 y 坐标排序, 从上到下逐个处理根据当前点与扫描线上的四边形关系, 决定如何处理。处理扫描线状态时, 注意更新边链和 helper 顶点。共有以下六种情况:

Case 1: insert Trapezoid 顶点不在任何一个 Trapezoid 里面, 则顶点与它左右的两个点构成一个新的 Trapezoid, 插入 sweepline 中。

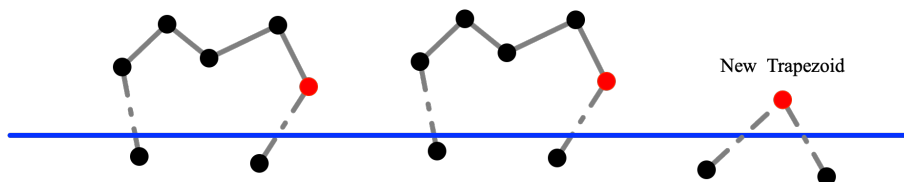


图 3: Trapezoid 插入的情况

Case 2: output Trapezoid 顶点在当前 Trapezoid 里面，且这个 Trapezoid 的左右虚顶点重合，表示这个 Trapezoid 已经封闭，可以输出了。

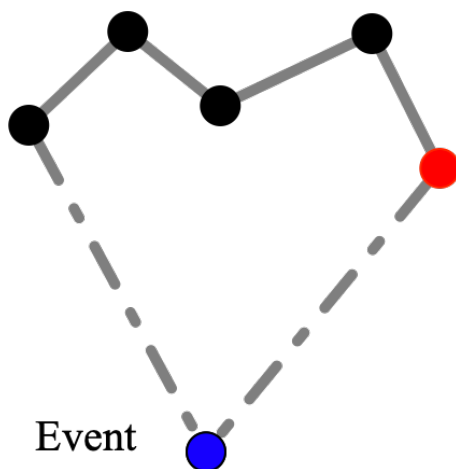


图 4: 输出 Trapezoid 的情况

Case 3/4: Trapezoid left/right update 顶点是左边/右边的虚顶点，则按照课件的步骤更新即可。

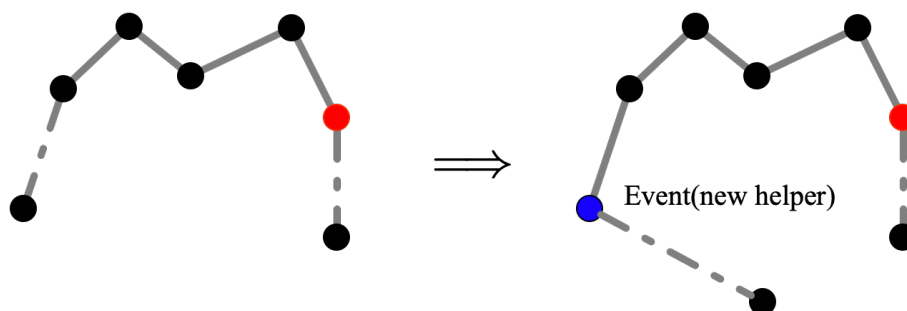


图 5: Trapezoid 更新 helper 顶点的情况

Case 5: Trapezoid merge 顶点是两个 Trapezoid 的连接点，则合并两个 Trapezoid 即可。

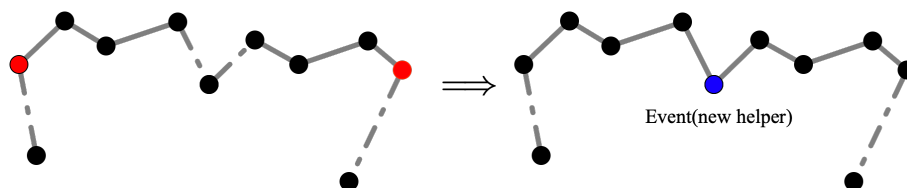


图 6: Trapezoid 合并的情况

Case 6: Trapezoid split 顶点在某一个 Trapezoid 里面，且不是左右虚顶点。则需要分成两个 Trapezoid。

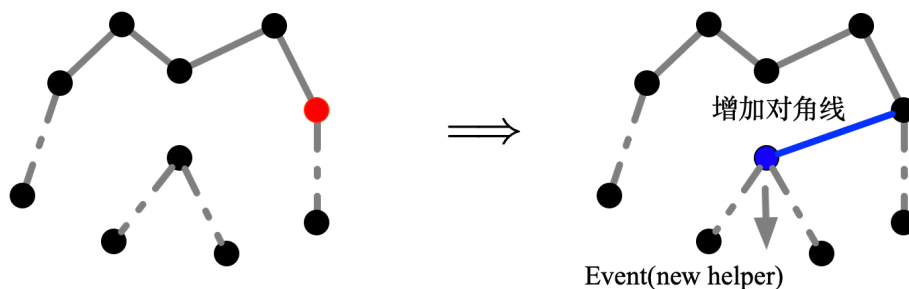


图 7: Trapezoid 分裂（增加对角线）的情况

从下到上第二遍扫描 按照如上操作，则简单多边形可以被分解为若干个 Trapezoid。每一个 Trapezoid 不保证是单调多边形，但是对 Trapezoid 再来一次从下往上的 Trapezoid 分解，则可完成单调多边形分解。图8是一个典型例子。

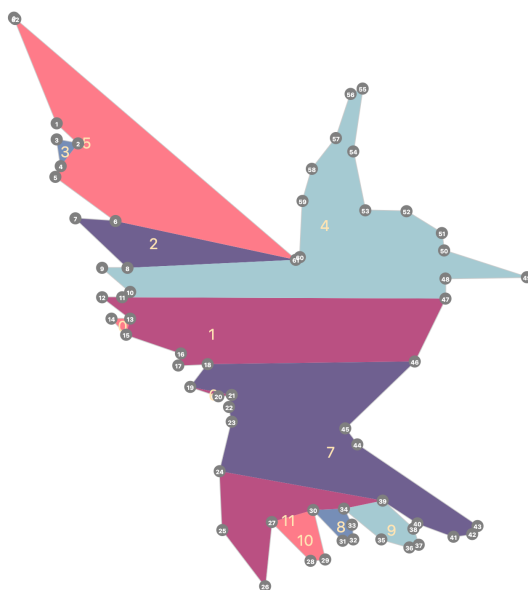


图 8: 单调多边形分解的典型例子

3 单调多边形三角剖分

给定一个边数为 M ，垂直方向单调的单调多边形（包含左右两个垂直方向单调的链），我们采用扫描线算法对其进行三角剖分。

3.1 数据结构

事件队列 扫描线算法需要扫描线状态与事件队列。在本问题中，事件队列就是按照 y 方向排好序的顶点。在实际应用中，两个顶点 y 坐标相同的情况非常常见，若这两个顶点属于同一个链，那么它们在事件队列中的次序应该和链中的次序保持一致，因此直接对所有结点使用普通的排序算法既不高效也不保序。合理的方法是，给定一个结点序列（多边形结点的逆时针排序），找到 y 坐标最小和最大的两个结点，从而得到左右两条 y 单调链，然后对这两条链按照 y 坐标进行归并得到事件队列。这样能够保证事件队列中的次序和链中的次序的一致性，总的复杂度为 $\mathcal{O}(M)$ 。

3.2 算法流程

维护一个结点栈 (Vertex Stack) S ，保存扫描线已经经过但是尚未处理的结点。将栈首元素记作 t ，栈中第二个元素记作 s ，扫描线当前经过的元素记作 c 。

核心想法是当 s, t, c 构成了一个凸起的三角形，我们可以像割耳朵一样将这个三角形割掉，因此我们需要判断当前的三角形是否凸起。对于左链而言，就是对 `toLeft` 测试为 `true`，对于右链而言 `toRight` 测试为 `true`。我们将相反的情况，即 s, t, c 构成凹陷的三角形或者共线称作 t 为 `reflex`。以下，我们对 c, t, s 之间的不同的相对位置，分别进行处理。

Case A1: Same Side + Reflex 当 c 和 t 处于同一条链条上，并且 t 是 `reflex` 的 (图9a)，此时不能割下任何三角形，因此我们将 c 压入栈中。

Case A2: Same Side + Non-Reflex 当 c 和 t 处于同一条链条上，并且 t 不是 `reflex` 的 (图9b)，则可以割下三角形 s, t, c 。若构成新的凸三角形，则需要继续割三角形。当 t 再次 `reflex` 或者栈中元素只有一个时，停止循环。完整算法见算法1。

Case B: Opposite Side 当 c 和 t 处于不同的链条上时 (图10)，此时 c 与栈 S 中的任意两个相邻结点都构成了三角形，因此可以将 S 中所有元素弹出。此后 t 会成为新的栈底元素， c 会成为新的栈顶元素。完整算法见算法2。

由于每个结点至多被压入栈中两次，至多产生 $M - 2$ 个三角形，因此总共的时间复杂度是 $\mathcal{O}(M)$ 。

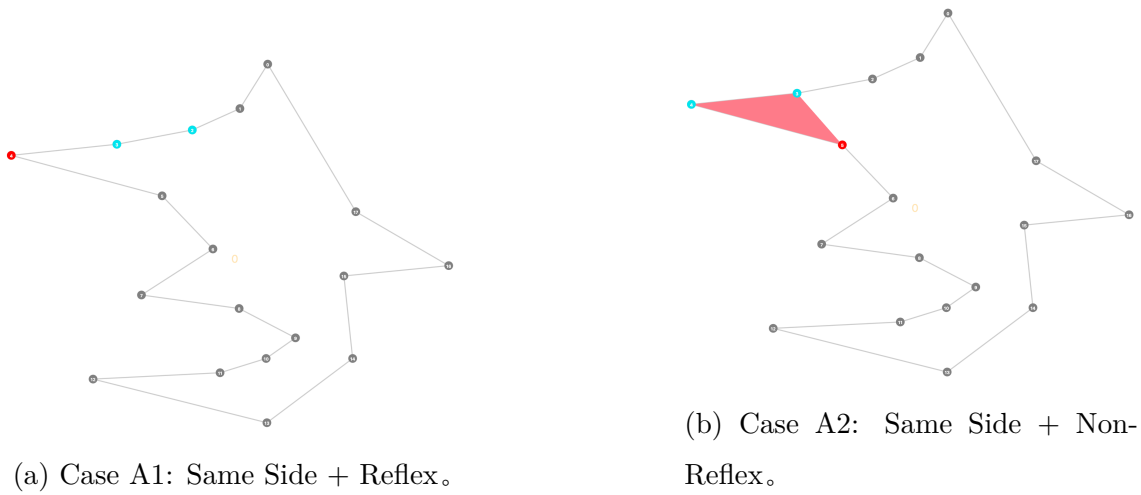


图 9: 多边形的三角剖分。红色: c , 蓝色: s, t

算法 1 单调多边形分解。Case A2: Same Side + Non-Reflex

```

repeat
   $s = S.secondary\_top()$ ;
  ChopOffTriangle( $s, t, c$ );
   $t = S.pop()$ ;
until ( $t$  is reflex) or ( $|S| == 1$ );
 $S.push(c)$ ;

```

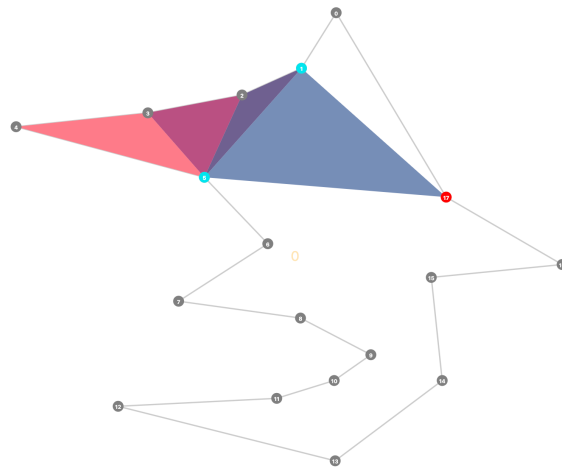


图 10: Case B: Opposite Side。红色: c , 蓝色: s, t

算法 2 单调多边形分解。Case B: Opposite Side

```
top = t;
repeat
    ChopOffTriangle(s, t, c);
    t = S.pop();
until (|S| == 1);
S.pop(); S.push(top); S.push(c);
```

4 Fisk 染色

给定 N 边形的三角剖分集合，我们首先将其用 DCEL 进行存储，然后将其转化为对偶图。对于不带洞的多边形而言，其三角剖分的对偶图是一棵树。最后采用深度优先遍历算法遍历这棵树，得到最终的 Fisk 染色。

4.1 数据结构

Doubly connected edge list (DCEL) DCEL 是基于边来存储平面图划分的方法，DCEL 会记录所有的结点，边以及面。其中，每条边会使用两条半边 (HalfEdge) 进行表达。

- 对于每个结点 v ，我们会存储所有从 v 出发的半边 $\text{edges}(v)$ 。
- 对于每条半边 e ，我们会存储它的起点 $\text{src}(e)$ ，终点 $\text{tgt}(e)$ ，方向相反的另外一条半边 $\text{twin}(e)$ 和相邻的面 $\text{inc}(e)$ 。
- 对于每个面 f ，我们会存储它边界上的所有边 $\text{edges}(f)$

由于所有结点的度数和为边数的两倍，所有面的边数和不超过边数的两倍，因此上述 DCEL 的存储成本 $\mathcal{O}(N)$ 。

在 Fisk 染色问题中，我们需要支持的功能是给定任意一个面，返回所有与之相邻的面。

4.2 算法流程

首先将三角剖分转成对应的 DCEL (算法3)。

然后在 DCEL 结构上构建三角剖分 T 的对偶图 (算法4)。该过程的时间复杂度只取决于总边数，因此为 $\mathcal{O}(N)$ 。

算法 3 DCEL 的构建

输入: N 边形 P , 对应的三角剖分 T

输出: DECL D

```
for all 顶点  $p \in P$  do
     $D.createVertex(p)$ ;
end for
for all 三角形  $t \in T$  do
    令  $va, vb, vc$  是三角形  $t$  的三个顶点;
     $eab = D.createEdge(va, vb)$ ;
     $ebc = D.createEdge(vb, vc)$ ;
     $eca = D.createEdge(vc, va)$ ;
     $D.createFace(eab, ebc, eca)$ ;
end for
```

算法 4 对偶图的构建

输入: DECL D

输出: 对偶图 $DUAL(D)$

```
for all 面  $f \in faces(D)$  do
    for all 邻边  $e \in edges(f)$  do
         $f' = twin(e)$ 
        if  $f' \neq NULL$  then
            连接顶点  $DUAL(f)$  和  $DUAL(f')$ 
        end if
    end for
end for
end for
```

对偶图 D 中每个顶点对应三角剖分 T 的一个三角面片，顶点之间的连边对应三角面片之间相邻。在对三角剖分进行 *Fisk* 染色时，只需先选一张三角面片染三种颜色，再使用深度优先遍历算法 *BFS* 逐个对相邻的三角面片的顶点染色即可 (算法5)。由于每张三角面片仅访问一次，因此该过程的时间复杂度取决于三角面片的个数，因此为 $\mathcal{O}(N)$ 。

算法 5 *Fisk* 染色

输入: 对偶图 $\text{DUAL}(D)$, 三角剖分 T

输出: 染色后的三角剖分 T

令 s 为一个空的队列, c 为 $\text{DUAL}(D)$ 的任意一个顶点;

$s.\text{push}(c)$

while $!s.\text{empty}$ **do**

$c=s.\text{top}$;

$s.\text{pop}()$;

 对 c 对应的三角面片进行染色;

for $c \in c.\text{neighbors}$ **do**

if c 还未被染色 **then**

$s.\text{push}(c)$

end if

end for

end while

5 高效的三角剖分正确性检查

由于任意多边形的三角剖分不唯一，因此无法通过和人工三角剖分结果比对的方式验证准确性。我们希望能找到一个尽可能高效的正确性检查方式，并尽可能将所有错误的剖分都检查出来，为此我们首先给出下述定理及证明。

定理 5.1 (三角剖分充要条件). 给定简单 N 边形 P , 三角形集合 T 是 P 的三角剖分的充要条件是

$$E_1 = \{P\text{的所有边}\}; |E_2| = N - 3; |E_k| = 0, k > 2 \quad (1)$$

其中 E_k 的定义如下。

定义 1 (E_k 的定义). 给定三角形集合 T, E 是所有三角形的边构成的有重集合, 即

$$E = \{e | t \in T, e \in t\}, \quad (2)$$

E_k 是 E 中出现 k 次的边构成的集合, 即

$$E_k = \{e | \text{count}(e) = k, e \in E\} \quad (3)$$

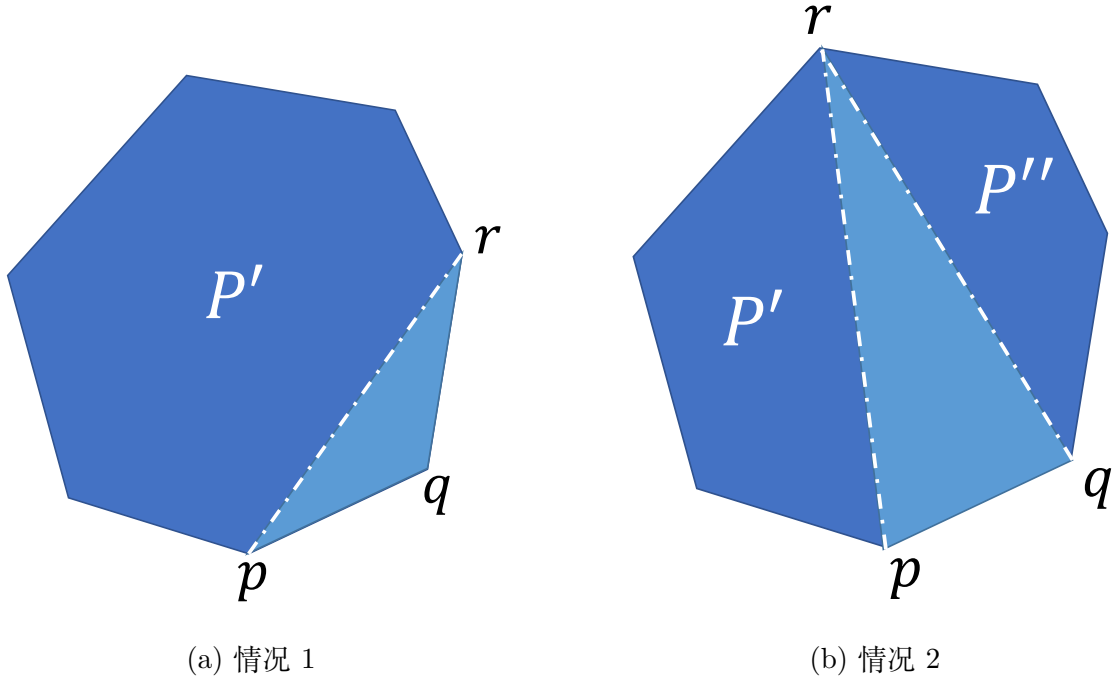


图 11: 当 $N = K$ 时的多边形情况。

定理 5.1 的证明. 必要性易证。以下采用数学归纳法证明充分性。当 $N = 3$ 时, 充分性是显然的。假设当 $N < K$ 时, 充分性满足。则当 $N = K$ 时,

情况 1: P 上存在相邻的三点 p, q, r 构成 T 中的一个三角形 Δ_{pqr} (见图 11a)。令 P' 是多边形去除 Δ_{pqr} 后剩余的部分, $T' = T - \{\Delta_{pqr}\}$ 。不难验证下述式子成立。

$$E'_1 = \{P' \text{ 的所有边}\}; |E'_2| = N - 4; |E'_k| = 0, k > 2 \quad (4)$$

由归纳假设知, E' 是 P' 的三角剖分, 因此 E 也是 P 的三角剖分。

情况 2: P 上不存在相邻的三点 p, q, r 构成 T 中的一个三角形 Δ_{pqr} 。那么不妨取 P 上相邻的两点 p, q , 它参与构成 T 中的一个三角形 Δ_{pqr} , 并且 r 与 p, q 都

不相邻，此时 P 被分成了 P', P'' 和 Δ_{pqr} 三部分。我们用 E'_k 表示 E_k 中只包含 P' 中点的边所构成的子集，用 E''_k 表示 E_k 中只包含 P'' 中点的边所构成的子集。在 P' 中， rp 之外的边都参与构成 P' 中不同的三角形（否则违反情况 2 的假设），故 T' 中至少有 $|P'| - 1$ 个三角形，故

$$|E'_1| + 2|E'_2| \geq 3(|P'| - 1), \quad (5)$$

同理

$$|E''_1| + 2|E''_2| \geq 3(|P''| - 1), \quad (6)$$

结合 $|E'_1| + |E''_1| \leq |E_1| + 1 = N + 1$ 与 $|P'| + |P''| \geq |P| + 1 = N + 1$ 得，

$$|E'_2| + |E''_2| \geq \frac{1}{2}[3(|P'| - 1) + 3(|P''| - 1) - (|E'_1| + |E''_1|)] = N - 2. \quad (7)$$

由于 $|E_2| \geq |E'_2| + |E''_2| + 2 \geq N$ ，与公式 1 矛盾！故情况 2 不存在。

综上，由数学归纳法知，定理 5.1 成立。 \square

在得到定理 5.1 后，我们只需要验证 1 即可。由于实际的三角剖分算法获得的 T 不可能引入 P 之外的结点，因此实际测试时，只需要验证

$$|E_1| = N; |E_2| = N - 3; |E_k| = 0, k > 2 \quad (8)$$

即可。具体验证过程见算法 6。期望意义下，Hash 的插入复杂度均为 $\mathcal{O}(1)$ 。因此算法 6 总的时间复杂度不超过总边数，为 $\mathcal{O}(N)$ 。

算法 6 三角剖分正确性验证

输入: N 边形 P , 对应的三角剖分 T

输出: 三角剖分正确性

```
counter = new Counter(); /* 采用 Hash 结构实现计数器 */
for all 三角形  $t \in T$  do
    for all 边  $e \in t$  do
        counter.add( $e$ );
    end for
end for
/* 统计各个出现次数对应的边的集合 */ /* 采用 Hash 结构实现集合 */
 $E_1 = \text{new Set}()$ ,  $E_2 = \text{new Set}()$ ,  $E_k = \text{new Set}()$ ;
for all 边  $e$ , 出现次数  $c \in \text{counter.items}()$  do
    if  $c == 1$  then
         $E_1.\text{add}(e)$ ; /* 出现次数等于 1 的边的集合 */
    else if  $c == 2$  then
         $E_2.\text{add}(e)$ ; /* 出现次数等于 2 的边的集合 */
    else
         $E_k.\text{add}(e)$ ; /* 出现次数大于 2 的边的集合 */
    end if
end for
if  $E_1.\text{size}() == N$  and  $E_2.\text{size}() == N - 3$  and  $E_k.\text{size}() == 0$  then
    return true;
else
    return false;
end if
```

6 鲁棒性

本文的目标是画廊问题，画廊问题的输入一般是室内设计图，因此点与点之间的最小距离能够得到保障，重合点可以看做是一个点。因此，我们的算法只处理点的最小距离比较大（大于 10^{-3} 像素距离）的情况。本节所谓的鲁棒性指的是算法对平行、共线等计算几何算法的常见边界条件的鲁棒性。

6.1 正确测例

室内设计图、迷宫 这种测例的特点是形状比较规则（图12），存在多条平行于 x 方向或者 y 方向的边。由于标准的单调多边形分解算法要求不同点的 y 坐标不同，因此我们采用了扰动算法，将输入做微小的扰动再进行处理，使得程序能够处理这些测例。

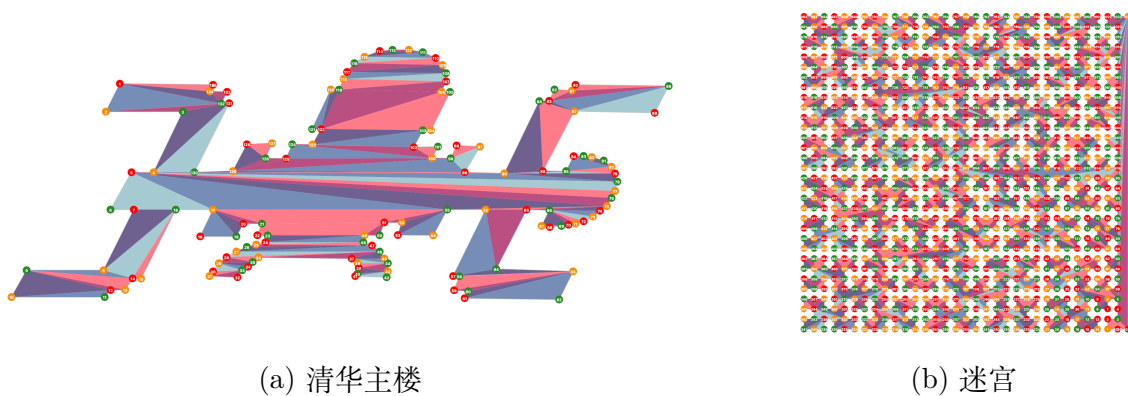


图 12: 室内设计图、迷宫。

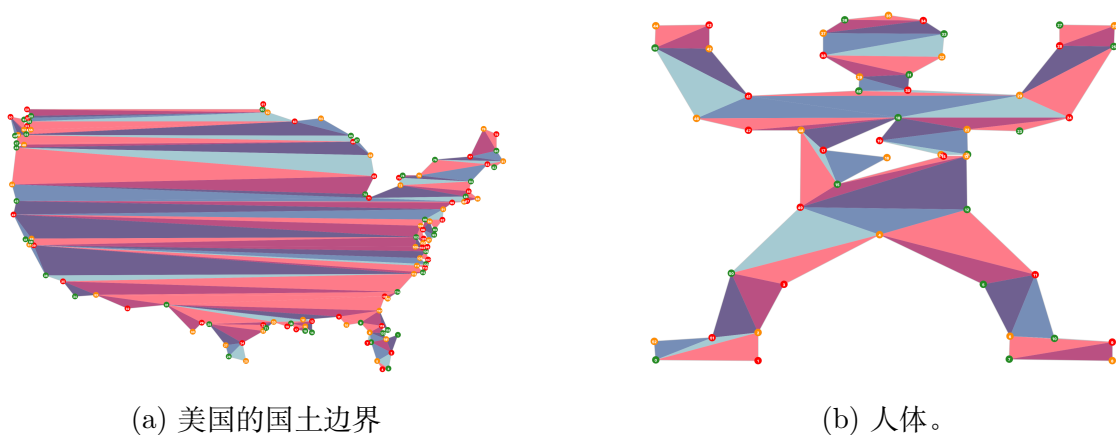


图 13: 物体外形、地形图。

物体外形、地形图 这种测例的特点是外表面非常复杂（图13），例如人体、鸟、马、国土边界等。其中人体测例（看上去有洞，但是实际上没有洞）展示了，如果输入的多边形有洞，可以通过连接内洞和多边形外表面，将其转化为不带洞的多边形，然后调用简单多边形的剖分算法进行三角剖分。

多 sinuosity Sinuosity 描述了多边形的蜿蜒度 [5]。本文提供了蜿蜒度较高的测例（图14）。

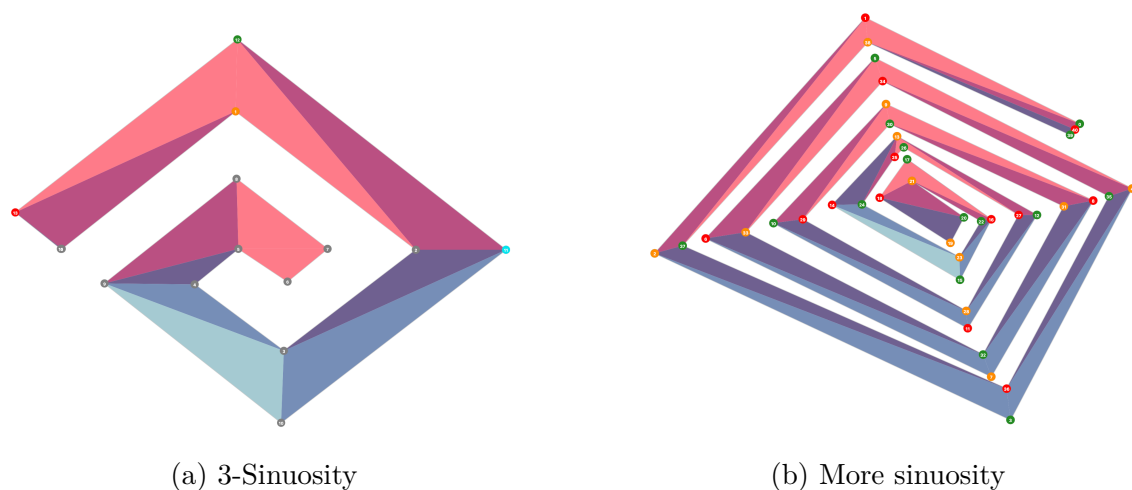


图 14: 多 Sinuosity。

退化的测例 退化情况的测例包括三角形，圆等（图15）。

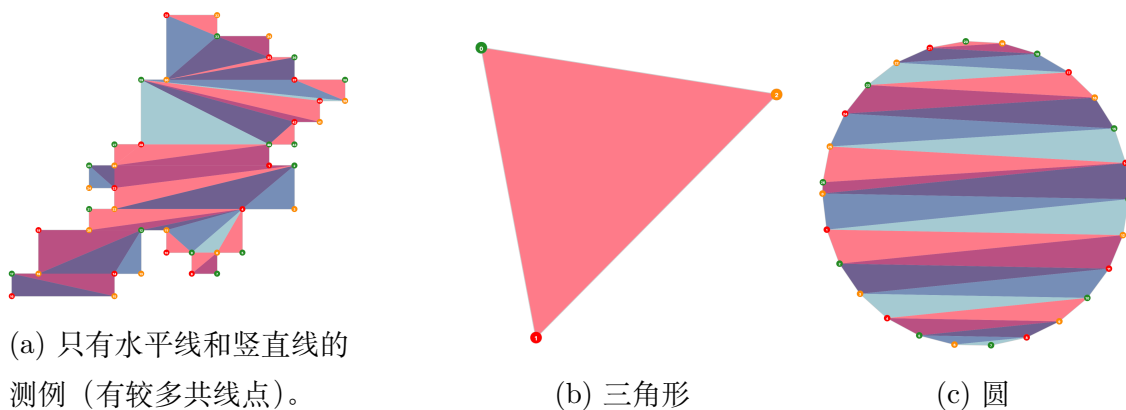


图 15: 退化的测例。

大规模测例 当测例的规模较大时，已经很难通过可视化去判断结果的正确性了（图16），因此在性能测试部分只给出定量的结果。

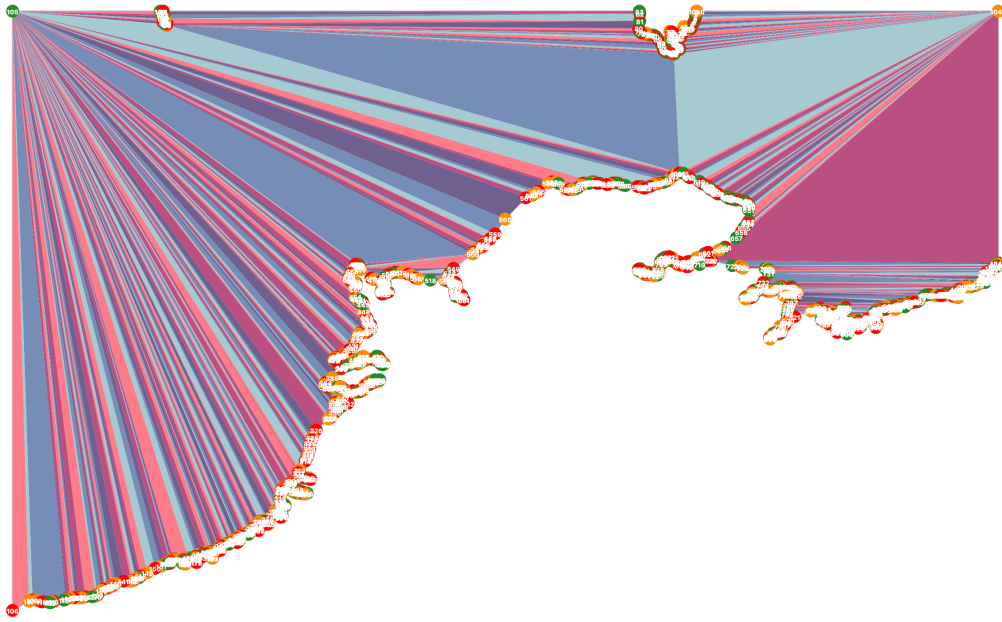


图 16: 大规模测例 ($N = 1051$)。

6.2 错误测例

当输入的不是简单多边形时，例如单点、点重合、非平面图等情况时，系统会给出错误提示（图17）。

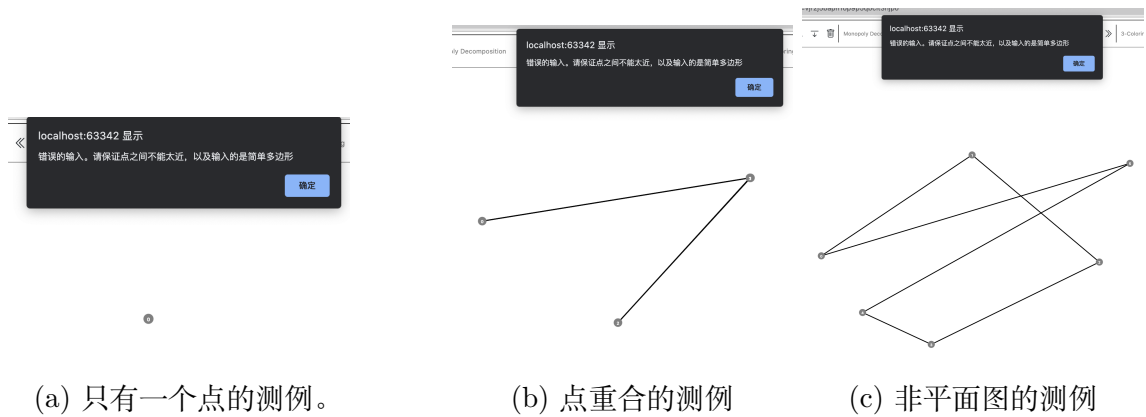


图 17: 错误的输入。

7 性能评估

我们记录了当多边形的点数 N 从 10^3 增加到 10^6 过程中，程序运行总时间的变化。对于 $\mathcal{O}(N^p)$ 复杂度的算法，时间和规模取对数后，拟合的斜率就是 p 值。

本题中我们实现的算法是 $\mathcal{O}(N \log(N))$ 的，斜率应该在 1 到 2 之间。图18 验证了我们的猜想。

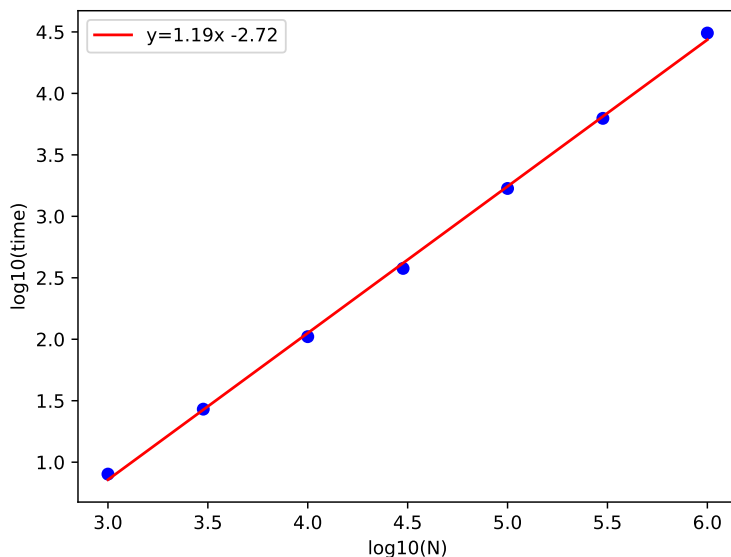


图 18: 运行总时间 (ms) 随着数据规模的变化。横纵坐标均为取对数后的值。

8 总结

我们小组基于 JavaScript 实现了画廊问题求解，并基于 HTML5 制作了美观大方的界面，只需要有浏览器就可以运行，其效果足以供课堂教学使用，且有足够的效率和鲁棒性。

9 分工

- 游凯超：简单多边形分解成单调多边形。
- 王兆伟：图形界面（包括算法流程可视化，多边形的创建、上传与下载），Fisk 染色。
- 江俊广：单调多边形的三角剖分，基于红黑树的扫描线，DCEL，剖分正确性检查。

参考文献

- [1] Chvatal Vasek, A combinatorial theorem in plane geometry, Journal of Combinatorial Theory Series B, 1975.
- [2] Fisk Steve, A short proof of Chvatal's watchman theorem, Journal of Combinatorial Theory Series B, 1978.
- [3] Chazelle, Triangulating a simple polygon in linear time, FOCS, 1990
- [4] Garey Michael, Johnson David, Preparata Franco, Tarjan Robert, Triangulating a simple polygon, Information Processing Letters, 1978
- [5] Bernard Chazelle and Janet Incerpi, Triangulation and Shape-Complexity, ACM Transactions on Graphics, 1984